

論 説 報 告

橋床版の應力計算に関する理論に就いて(其の1)

准 會 員 工 藤 忠 夫*

要旨: 本文はウイスターガード氏の論文『輪荷重による橋床版の應力計算』(Westergaard; Computation of Stresses in Bridge Slabs due to Wheel Loads, Public Road Vol. 11 No. 1. 1930) を解説し、更にこの理論より實用的補正公式を誘導したエルプス、ゴーデンス、パーカー三氏の共同論文 (H. R. Erps, A. L. Googins and J. L. Parker; Distribution of Wheel Loads and Design of Reinforced Concrete of Bridge Floor Slabs Public Road Vol. 11 No. 8. 1937) の概要を照介し、併せて床版應力に関する諸家の研究の若干に就き論述せるものである。元來本文はこの種問題を始めて調べた際の著者自身のノートとし書き留めおいたものに過ぎざる爲、豫備的智識各式の證明誘導等冗長駄足むしろ煩雜極まるものであるが、若き技術者の参考資料として幾分なりと役立つところあらば幸甚と考へ敢へて公表する次第である。尙本文中には獨斷に依り推論せる個所少からず、誤謬欠點も多かるべく、諸賢の御高教を得ば格外の喜びとするところである。

目 次

- 第1章 概 説
- 第1節 序 説
- 第2節 記號及符號
- 第2章 基本方程式の誘導
- 第3節 弾性方程式の誘導
- 第4節 無限級数の使用
- 第5節 無限級数を使用した集中荷重を有する版帶の解法
- 第6節 有限形にて表はされた Najai の解の證明
- 第3章 橋床問題へ直接適用し得る公式の誘導
- 第7節 1點に作用する集中荷重に依り他の點に生ずる曲げモーメント
- 第8節 小圓に等分布する荷重の結果
- 第9節 輪荷重が板の中央に作用する場合の最大曲げモーメントの計算
- 第10節 支間の方向に並ぶ3つの輪荷重に依る曲げモーメントの計算

- 第11節 支間と直角の方向に並ぶ3つの輪荷重に依る曲げモーメントの計算
- 第12節 任意の點に作用する荷重に依る版中心における應力及び版中心に作用する荷重に依る任意の點における應力
- 第13節 2つの點に作用する2つの荷重に依り第3の點に生ずるモーメントの計算
- 第14節 4つの荷重に依る総合應力
- 第15節 矩形版の應力解法への應用
- 第16節 單純支承より固定支承への變換の解法
- 第17節 片持版の解法
- 第18節 支型反力の決定
- 第4章 補正公式の誘導
- 第19節 補正公式誘導の方法
- 第20節 兩公式の比較
- 第5章 結 論
- 第21節 床版理論の展開
- 第22節 設計上の注意

參 考 文 獻

- 井口 鹿象、矩形平版の挠度並に應力に就いて
土木學會誌10卷6號
- 同 二軸の方向に於ける弯曲剛率不等なる矩形平版の一解法 同 16卷10號
- 同 部分的分布荷重を受くる矩形平版の弯曲並に弯曲應力に就いて 同 17卷5號
- 稻田 勝、四邊に於て支持せらるゝ矩形平面版の研究 同 14卷4號

- 安宅 勝、公道橋床版の設計に於ける重要な問題
Important Problems in the Design of Reinforced Concrete Floors in Highway Bridges 同 17卷10號
- 廣川誠三郎、矩形平面版の一解法に就いて
建築雑誌45-552
- F. Tölke, Über Spannungszustände in dünnen Rechtecksplatten 同 49 596
- 藤・井忠二、集中荷重を受ける平面版に就ての考察

機械學會法37-204

E.F.Kelley, Effective Width of Concrete Bridge
Slabs Supporting Concentrated Loads

Public Road Vol.7 No.1

Westergaard, Stresses in Concrete Pavements Computed by Theoretical Analysis

同 Vol.7 No.2

同、 Computation of Stresses in Bridge
Slabs due to Wheel Loads

同 Vol.11 No.1

Erps, Googins and Parker, Distribution of Wheel Loads and Design of Reinforced Concrete Bridge Floor Slabs

同 Vol.18 No.8

プライヒ 鋼橋の理論と計算（邦譯）

マルクス 床版の計算（ノルマ）

ティモシエンコ 振屈理論（ノルマ）

プレスコット 應用彈性學（ノルマ）

池田芳郎 應用數學

川口虎雄外 土木工學

A. Nadai, Die Elastische Platten

L. Föppl, Drang und Zwang

Timoshenko, Theory of Slabs and Shells

同 Theory of Elasticity

Love, Mathematical Theory of Elasticity

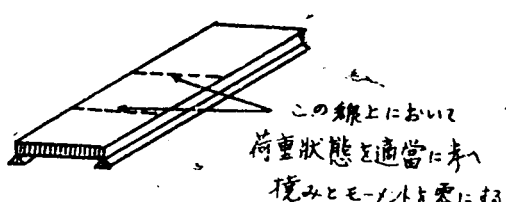
第1章 概 説

第1節 序 説

鐵筋混疑土構造物の發達に伴ひ床版理論の研究が多く、の學者の注意を引くに至つたのは鐵筋混疑土床版が等質彈性床版と考へて實用上差支へないからである。特に橋梁工學に於ては床版理論は直接設計上必要なものである。集中荷重を等布荷重に換算して所謂有效分布幅に依る應力計算は今日殆んど凡ての人々に依り試みられてゐる計算法であるが、この有效幅が仲々の曲者であつて、難解複雑な平板理論から簡易にして且正確な實用式を誘導することは可成り至難の業である。多くの人々に依り、これに對する努力が拂はれてゐるがまだ完成されたと

は言ひ難い様に思はれる。マルクスの理論は獨乙の書に取入れられてゐるが仲々巧妙な誘導方法として貢献する所大である。がこゝではマルクスとは可¹²方法を異にしてゐるウイスタガード氏の理論に就きせんとするものである。これは A. Nadai の理論から發して床版普通理論の巧みな使用に依つて特別理論と様な效果を擧げるものである。先づ板は定距離の端にて單純に支持せられてゐる無限帶として應力の計算する。（第1圖）

次にこの帶板上で支間の方向の線を考へこの線上でみと曲げモーメントを零ならしめる如き荷重狀態を想すれば、この線間の部分は四邊單純支持の矩形版と考得るから、かゝる荷重狀態における應力計算はとりもさず矩形版の應力計算と云ふことになるのである。更演繹的方法に依り單純支持より固定支持への解説を爲てゐる。以上がウ氏理論の骨組であるがエルプス外二は矩形版の應力計算の爲めに無限、板帶のモーメントをその最大離距を邊とする等價モーメント矩形に直し所謂有效幅を求めたのである。かくすれば極めて簡易實用式を得る事は可能であるが以上の方法がどの程度近似性があるかは疑問である。しかし M. Bergstrass 其の他の實驗に依り A. Nadai の理論が實驗的に證明られたのみならず、エルプスの方法も相當の近似性を認められた様である。



第1圖

註1. 一般に彈性理論に依つて與へられる解法に2つある事は衆知の通りである、この2つの理論の差異は例へば梁で云ふならば、梁の解法に於て平面斷面が曲げを受けたときも平面であり且つ中立軸に直角であるとのベルヌイとナヴァの假設に相當するものである。これは集中荷重の作用する場合、その作用點の極近傍の

局部應力を考へる場合は適用されず、平面断面の假定を棄て、鉛直應力に因る變形を考慮に入れるを要する。集中荷重作用點に於て普通理論に依れば曲げモーメントは無限大になるが、かることは實際の場合にはあり得ない。

これは恐らく床版の厚さがこの最大應力を緩和する役目をするからと思はれる。この緩和される範囲を求める爲特別理論が必要となる。この理論では、床版への直角直線が直線に保存されると云ふ假定を棄て、次の2の假定を用ひる。即ち1つはフックの法則が適用せられ、 E と ν とが一定であるとの假定、2つは材料の連續性があらゆる點に於て成立すると云ふ假定であつて、この特別理論は普通理論より遙かに複雑な爲ウイスターード氏の理論に於ては荷重を c なる equivalent Diameter(等價直徑)に分布するものと假定して普通理論を適用し以て眞の荷重分布直徑 e を用ひた特別理論に依る應力計算と等しい應力を算出するのである。

Timoshenko; Theory of Elasticity 參照

Public Road Vol.7 No.2. Westergaard; Stresses in Concrete Pavements, P.27 參照

註2 曲げに依つて板の中央面に歪が起らないと言ふ假定は板の撓みが其の厚さに比べて小さい限りは通常十分な精度である。併し此の條件が満足されぬ場合は、板の中央面が幾分變形するものであるから板の應力分布を考へるときは之を考慮しなければならぬ。撓面が展開可能面例へば圓錐面圓錐面であるならば、板の中央面に歪を起さないでかなりの撓みが起りうる。

一般の場合には板の大きい撓みは中央面のいくらかの伸を伴ふものでこの伸に基く最大應力度は最大曲げ應力度の約18%である。

周邊固定の圓形版に等分布荷重が掛つて b に等しい最大撓が起つた場合には伸に基く最大應力度は伸を無視して計算した最大曲げ應力度の約23%である。即ちこの場合中央面の伸を無視しても最大應力度の値に大きな誤差を生ぜないのは、例へば $0.4h$ を超へない様な小さな撓みの場合に限るのである。

ティモシエンコ; 橋理論(邦譯)195頁217頁

第2節 記號及符號

x, y = 水平直角座標、原點は普通支間中央に置くが z, z の計算に於ては y 軸を版の左邊に移動して考へる。
(第2圖)

r, θ = 水平極座標

z = 點 (x, y) に於ける版の撓み(deflection)

a, b, u, v = 水平距離

h = 版 厚

c = 荷重 P_1 が等分布する小圓の直徑

c' = 荷重 P_1 が直徑 c なる小圓に等分布するとき、特別理論を以て計算した版底部の最大應力張力と同等な應力を、普通理論で算出する爲の等價等分布直徑

E = 版構成材料のヤング率

μ = ポアソン比、普通 $\mu = 0.15$ と假定する。

N = 版の剛率

P_1, P_2, P_3, P_4 = 輪荷重

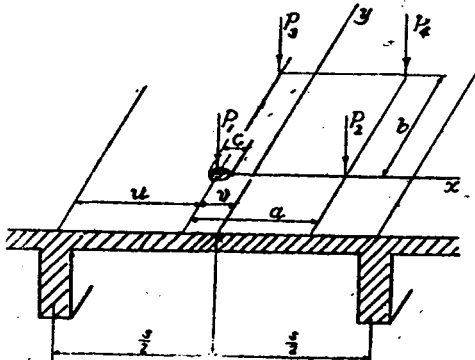
a = 單位面積に對する分布荷重

p = 線上に分布する單位長さ當りの荷重

$Vx = y$ 軸に平行な斷面内の單位幅當りの鉛直剪力、 x が正なるとき上向き方向を正とする

$Vy = x$ 軸 同 y 同

$M_x, M_y = y$ 軸又は x 軸に平行なる斷面内に作用する x 又は y 方向のモーメント單位巾當り、版底に應張力、版表面に應張力を生ぜしめる如きものを正號とする



第2圖

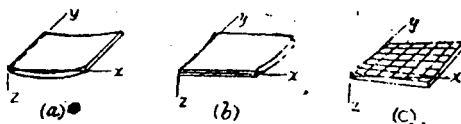
$M_{xy} = x$ 及び y 軸に平行な斷面中單位巾當りの x

及びy方向に於ける捩りモーメント

$x=y$ なる線の方向に於て版表面に應魅力を生ぜしむる如きものを正號とする。

M'xy = Mxy の特別な場合の値

R_x =左端に於て単位長當り反力



第3圖 義理的基本型

(a) x方向の彎曲 (b) y方向の彎曲 (c) xとy方向の捩り

第3章 基本方程式の誘導

第2節 彈性方程式の誘導

先づ理論考究の便宜上弾性方程式の誘導に就き簡単に説明する第3圖は平版の1要素を摘出して變形の3基本型を示したものである。これらはいづれも版素に作用する

曲げモーメントと振りモーメントに依り作られる。

一般の場合はこの3種が重複して複雑な變形をなすと考へられる。

第4圖は版の1要素に作用する力と儀力の全部を示したものである。

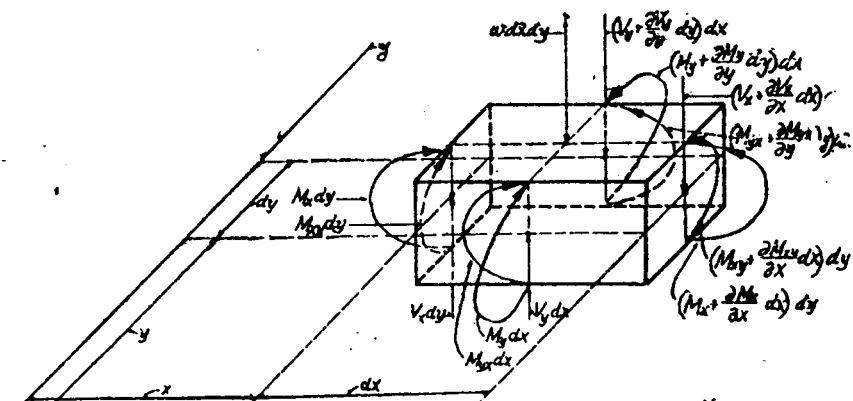
座標 x の面から $x+dx$ の面に至る間に、単位巾に對する曲げモーメントは Mx から $\frac{\partial Mx}{\partial x}$ の増加率を以て $\frac{\partial M}{\partial x}$ dx だけ増加する。故に巾を dy とすれば

二 座標xの面に於て $\int M_x dy$

座標 $x+dx$ の面に於て $(Mx + \frac{\partial Mx}{\partial x} dx)dy$
 同様の関係が My に就いても又振りモーメント Mx
 Vx 剪力 Vx , Vy に就いても成立する。

かくして力及び偶力の平衡方程式として獨立したるを得る。

垂直方向の力の和を零と計算し、



-2 第1回 版素に作用する諸力と偶力

$$\omega dx dy + (V_y + \frac{\partial V_x}{\partial y} dy) dx + \left(V_x + \frac{\partial V_x}{\partial x} dx \right) dy - V_y dx - V_x dy = 0$$

上式を整理し $dxdy$ で除すれば

y 軸に平行にして block の重心を通る軸についてモーメントの和を零として

$$Mx \frac{dy}{dx} + Vx \frac{dy}{dx} - \frac{dx}{2} + Myx \frac{dx}{dy} - \left(Myx + \frac{\partial Myx}{\partial y} dy \right) \frac{dx}{dy} - \left(Mx + \frac{\partial Mx}{\partial x} dx \right) \frac{dy}{dx} + \left(Vx + \frac{\partial Vx}{\partial x} dx \right) dy - \frac{dx}{2} = 0$$

$$\therefore -\frac{\partial M_{yx}}{\partial y} dx dy - \frac{\partial M_x}{\partial x} dx dy + V_x dx dy + \frac{\partial V_x}{\partial x} dx dy \frac{dx}{2} = 0$$

最後の項は三次であるから0と近似的に見做し、且 $dxdy$ で除すと

$$\frac{\partial M_x}{\partial x} + \frac{\partial M_{yx}}{\partial y} = v_x \dots \dots \dots (2)$$

同様に平行なる軸について考へると(2)式において α と β を入れ更へると良い。

こゝに振りモーメント (twisting moment, Verdrehungsmoment) と云ふのは垂直断面内に水平應力のモーメントである。

互ひに直角な断面における應剪力は相等しいから

(2)式及(3)式を(1)式に代入し、更に(4)式の関係を適用すると

$$\frac{\partial^2 M_x}{\partial x^2} + 2 \frac{\partial^2 M_{xy}}{\partial x \partial y} + \frac{\partial^2 M_y}{\partial y^2} = -\omega \dots \dots \dots (5)$$

等質平板に彎曲前に、垂直に描かれた各直線は彎曲後もやはり直線であるならば、垂直断面内の直應力 (normal stresses) と應効力 (shearing stresses) は版厚を通じ直線的変化をして分布せられ、版底及版表に於ける應力は等大異値にして版中央では零である、即ち中央水平断面は中立面となる。底面に於ける x 方向の應効力を σ_x 、 y 方向の應効力を σ_y xy 方向の應効力を τ_{xy} とすれば、これらは桁の場合と同様にモーメントを断面係数で除すれば良ろしい、即ち

次にモーメントと塑形の関係を考へる。第3圖(a)(b)に於いて塑形は曲率で示されるから

$$x\text{方向に於ては } -\frac{\partial^2 z}{\partial x^2}$$

γ 方向に於ては $-\frac{\partial^2 z}{\partial y^2}$

又(c)に於ては捩り (twist) は $-\frac{\partial^2 z}{\partial x \partial y}$ で計られる。

M_y 及 M_{xy} の作用なく M_x のみに依る曲率は x 方向において $-\frac{\partial^2 z}{\partial x^2}$ であるが、単位中の厚さ b の矩形断面の場合におけると同様に次の如く表はされる。

$$-\frac{\partial^2 z}{\partial x^2} = \frac{M_x}{EI_x} = -\frac{12M_x}{Eh^3}$$

長さの方向の伸び(extension)に伴う横方向の縮み(Contraction)の関係はボワソン比 ν が示すのであって、この ν にはその $-1/\nu$ 倍に等しい γ 方向の曲率を伴ふが $Mx = -\gamma z/\lambda^2 \sin \lambda x$ 型の繰りを省くことはない。

全く同様にして曲げモーメント M_y を表すことが出来る、かくして 2 つの曲げモーメントの合效果として式(7)(8)を得る。

$$-\frac{\partial^2 z}{\partial x^2} = \frac{12}{Eh^2} (Mx - \mu My) \dots \dots \dots (7)$$

木に握りモニメントの作用をもたらす。この時、 $\alpha = 45^\circ$ なる時に直角偏光面、 γ をもたらす(第5図)、而るときは

$$OA=x \quad OA_1=x_1$$

$\text{OB} = y$ $\text{OB}_1 = y_1$

$$x = OA = BP = BC \quad \therefore OC = x + y$$

$$X_1 = OA_1 = CA_1 \quad \overline{CA_1}^2 + \overline{OA_1}^2 = \overline{OC}^2$$

$$\text{即ち } 2X_1^2 = (X+Y)^2 \quad X_1 = \frac{1}{\sqrt{2}}(X+Y)$$

$$\text{同様にして } Y_1 = \frac{1}{\sqrt{2}}(-X+Y)$$

今函数fを考へて

$$\frac{\partial f}{\partial x} = \frac{\partial f}{\partial x_1} \frac{\partial x_1}{\partial x} + \frac{\partial f}{\partial y} \frac{\partial y_1}{\partial x} = \frac{1}{\sqrt{2}} \left(\frac{\partial f}{\partial x_1} - \frac{\partial f}{\partial y_1} \right)$$

この結果は新舊座標間に成立する operator $\frac{\partial}{\partial X}$ に関する statement である即ち

$$\frac{\partial}{\partial x} = \frac{1}{\sqrt{2}} \left(\frac{\partial}{\partial x_1} - \frac{\partial}{\partial y_1} \right)$$

同様にして

$$\frac{\partial}{\partial y} = \frac{1}{\sqrt{2}} \left(\frac{\partial}{\partial x_1} + \frac{\partial}{\partial y_1} \right)$$

従つて differential operation を組合せると .

$$\frac{\partial^2 z}{\partial x \partial y} = \frac{1}{2} \left(\frac{\partial}{\partial x_1} - \frac{\partial}{\partial y_1} \right) \left(\frac{\partial z}{\partial x_1} + \frac{\partial z}{\partial y_1} \right) = \frac{1}{2} \left(\frac{\partial^2 z}{\partial x_1^2} - \frac{\partial^2 z}{\partial y_1^2} \right)$$

$M_x = 0$ $M_y = 0$ $M_{xy} \neq 0$ と云ふ條件は x_1 及び y_1 方向に於いては

$M_{x_1} = M_{xy}$ $M_{y_1} = -M_{xy}$ $M_{x_1} y_1 = 0$ と云ふ條件と equivalent であるからこれらの値を x を x_1 に、 y を y_1 に替へた(7)及(8)式に入れて

$$-\frac{\partial^2 z}{\partial x_1^2} = \frac{12}{Eh^3} (Mx_1 - \mu My_1)$$

$$-\frac{\partial^2 z}{\partial v_1^2} = \frac{12}{Eh^3} (My_1 - \mu Mx_1)$$

兩者の差を造り

$$\frac{\partial^2 z}{\partial x_1^2} - \frac{\partial^2 z}{\partial y_1^2} = \frac{12}{Eh^3} (My_1 - Mx_1 - \mu Mx_1 + \mu My_1)$$

而1丁

$$\frac{\partial^2 z}{\partial x^2} - \frac{\partial^2 z}{\partial y^2} = 2 \frac{\partial^2 z}{\partial x \partial y}$$

v

$$M_{V_1} - M_{X_1} \equiv -M_{XV} - M_{XV} = -2M_{XV}$$

四

$$\mu(-Mx_1 + My_1) = -2\mu M_{xy}$$

三

$$2 \frac{\partial^2 z}{\partial x \partial y} = -2 \frac{12}{Eh^3} (M_{xy} + \mu M_{xy})$$

四

$$-\frac{\partial^2 z}{\partial x \partial y} = \frac{12(1+\mu)}{Eh^3} M_{xy} \dots \dots \dots (9)$$

更に同様な方法を繰り返して

$$\frac{\partial^2 z}{\partial^2 x} = \frac{1}{2} \left(\frac{\partial}{\partial x_1} - \frac{\partial}{\partial y_1} \right)^2 z = \left(\frac{\partial^2 z}{\partial x_1^2} - 2 \frac{\partial^2 z}{\partial x_1 \partial y_1} + \frac{\partial^2 z}{\partial y_1^2} \right) = 0$$

同じく $\frac{\partial^2 z}{\partial y^2} = 0$

この結果は振りモーメント M_{xy} は曲率 $-\frac{\partial^2 z}{\partial x^2}, -\frac{\partial^2 z}{\partial y^2}$ に何等影響を與へぬものなることを證明してゐる。

上記(7)(8)(9)の3式は M_x , M_y , $M_{x,y}$ の組合せ効果を表す。

ここで便宜上板の剛率又は曲げ剛さと稱せられる係数Nを説明する。

この量を用ひると、(7)(8)(9)式からモーメントを次々次の形で表はしらる。

$$Mx = N \left(-\frac{\partial^2 z}{\partial x^2} - \mu \frac{\partial^2 z}{\partial v^2} \right) \dots \dots \dots \quad (11)$$

$$M_{xy} = -N(1-\mu) \frac{\partial^2 z}{\partial x \partial y} \dots \dots \dots \quad (13)$$

此等の諸式を(5)式に入れると、平版の弹性方程式として、1811年 Lagrange が導いた式を得る。仍ち(11)式を X に就いて2度偏微分し

$$\frac{\partial^2 M_x}{\partial x^2} = N \left(-\frac{\partial^4 z}{\partial x^4} - \mu \frac{\partial^4 z}{\partial x^2 \partial y^2} \right)$$

(13)式をx及yで偏微分し且2倍すると

$$2 \frac{\partial^2 M_{xy}}{\partial x \partial y} = -2N(1-\mu) \frac{\partial^4 z}{\partial x^2 \partial v^2}$$

(12)式をyにて2度偏微分し

$$\frac{\partial^2 My}{\partial y^2} = N \left(-\frac{\partial^4 z}{\partial v^4} - \mu \frac{\partial^4 z}{\partial x \partial v^2} \right)$$

上式を加へ合はせて

$$\frac{\partial^2 Mx}{\partial x^2} + 2 \frac{\partial^2 Mxy}{\partial x \partial y} + \frac{\partial^2 My}{\partial y^2} = N \left(-\frac{\partial^4 z}{\partial x^4} - 2 \frac{\partial^4 z}{\partial x^2 \partial v^2} - \frac{\partial^4 z}{\partial v^4} \right) = -\omega$$

依つて

$$\frac{\partial^4 z}{\partial x^4} + 2 \frac{\partial xz}{\partial x^2 \partial y^2} + \frac{\partial^4 z}{\partial y^4} = \frac{\omega}{N} \quad (14)$$

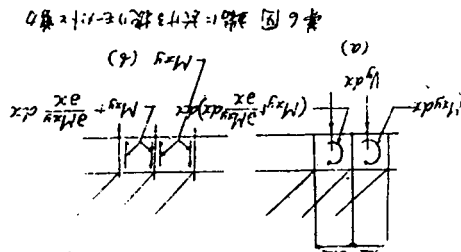
Laplacés Operator の 2 元に対するものを用ひて

$$\Delta = \frac{\partial^2}{\partial x^2} + \frac{\partial^2}{\partial v^2} \quad \dots \dots \dots \quad (15)$$

とすると Lagrange の方程式は次の如き簡単な形となる

次に垂直剪力を構成する項を以て表はすには(11)×(12)×(13)の各式を(2)×(3)の式に代入して

第6図は平板の端部の状態を示すものである、(a)図の
振りモーメントは水平剪断力に依り生ずるものである。
これらモーメントは鉛直剪断力の偶力と平衡を持つ。



2つのブロックの境界に於ける2つの垂直力は
 $\partial M_{xy}/\partial z, dz$ に等しい餘剩上向力 (Surplus upward force) を残すから即ち単位長につき $\partial M_{xy}/\partial z$ である。
 端部に於ける垂直剪力と振りモーメントに関する考察は
 1867年 Kelvin と Tait に依り理論化された。端における垂直剪力と振りモーメントの組合せは垂直諸力の組合せに等しい、これらを以て第 1に上向分布反力を表すと

第2に版左端の上向集中力は該點の M_{xy} の値に等しい、
 y軸に平行な版端に於て、Xの値の正側においての分布
 上反力は、同様な方法に依つて

上記2端の直角交隅にては、各端より M_{xy} の上向力が與へられるから、全集中力として $2M_{xy}$ となる。

平板普通理論における解法とは(11)×(12)×(13)×(17)×(18)
 (19)等の各式を用ひて表はされた境界条件を満足する
 Lagrange の方程式(10)の解を見出すことである⁵⁾。

^註3. A. Nadai: Elastische Platten S. 251ff. vgl.

Timoshenko: Theory of Plate and Shells P 39~49

4. Thomson (Lord Kelvin) and Tait: Natural Philosophy

philosophy 1867 arts 645-648

第1法としては(16)式 $\Delta^2 z = \frac{w}{N}$ の一般解が $\Delta^2 z = \frac{w}{N}$
 の特解と $\Delta^2 z = 0$ の一般解との和を以てあらはされる
 から、先づなるべく簡単であつて都合の良い特解を導入する。

び、 $\Delta^2 z = 0$ の一般解中の未定積分係数を両解の和が満足する様決定するのである。

$\Delta^2 z = 0$ の解は複調和函数と云はれるものでこの 4 次の微分方程式を膜の撓を表す 2 次の微分方程式の形に直し一般解を求めるが便利なこともある。即ち $(\partial^2/\partial x^2 + \partial^2/\partial y^2)(\partial^2 w/\partial x^2 + \partial^2 w/\partial y^2) = 0$ の形である。これは H. Marcus に依り試みられてゐる。かくて第法の結果は通常單式無限級数を以て表はれるのであるが周邊条件が簡単で Naviey's boundary Condition を満足する、如き場合 Levy's method に依り比較的簡単に求まるが、然らざる場合は相當複雑である。

第2法は、先づ最初に周邊條件を満足する橢度の式を假定し、其の中に含まれる未定係数を Lagrange の方程式を満足する如く決定せんとするもので通常複式級數として表はされる、1821年 Navier が先駆を付けたものであるが其の後多くの學者に依り發展してゐる。殊に我國において井口博士が複式級數を單式級數に換へる方法を考案して以來その收斂性が非常に良くなつた。其の他種々な方法があるが特に注意を要するのは原微分方程式を Differenzengleichung として解く方法で Marcus 等多くの數値計算を爲してゐる。

Timoshenko; Theory of Plate and Shells P9
及びP 113以下参照、井口鹿象；=軸の方向に於
ける彎曲剛率不等なる矩形平版の一解法 土木學
會誌16卷10號

マルクス著 堤井義勝譯；床版の計算145頁以下

第4節 無限級数の使用

平版の解法にフーリエの級数を始めて使用したのは Navier である。本邦に於ても多くの研究に依る平版解法は基本方程式に於て ω をフーリエ級数に展開して、この係数を境界条件に合ふ様に定めてゐるから我々には非常になじみ深い考へ方であるが、こゝにウイスタガード氏の記述を中心として之に 2,3 の人々に依る研究を附加し、平版理論に用ひられるフーリエ級数の智識を明確化し、しめる爲先づ簡単における應用から解説する。

今仮想 S なる単桁を考へる。これに數個の集中荷重と $P = P(x)$ であらはされる分布荷重が作用してゐるとす

るこの際 \bar{x} は桁の左端からの距離である。剪力 $V = V(\bar{x})$ は集中荷重の作用點では急變するが他の凡ての點で次の關係式が成立する。

かゝる任意の函数 V はフーリエ級数で表はされる。集中荷重の作用點と桁端とを除外すれば、級数は V に收斂

なる関係を用ひて、(21)式の V_1 の値を(22)式に代入するときは

$$\int_0^S V \cos \frac{m\pi x}{S} dx = \int_0^S V_1 \cos \frac{m\pi x}{S} dx = \int_0^S \sum_{n=1}^{\infty} C_n \cos \frac{n\pi x}{S} \cos \frac{m\pi x}{S} dx = -\frac{S}{2} C_m$$

故に $m=1,2,3,\dots$

従つて函数Vが既知なるとき凡ての常数は決定せられる。

次に(21)式を微分し符号を變へ之をP₁とすれば

これはPが不連續でない凡ゆる點に於て式(20)のPに寄値する。即ち集中荷重がなければ収斂することになるが、集中荷重のある場合には發散してしまう。しかし級數の積分は、矢張り(21)式の符號を變へたものとなり、更に積分を續けるならば、モーメント、slope 捜み等を収斂級數の形で求められるものである。これらの結果に關する限りでは(25)式は發散級數であつたにしろ、桁上の集中及分布の全荷重を表はしてゐるものと言ひ得る。(21)及(25)式に用ひられた級數は函数Vが2Sなる周期を有する周期函数であり、 $X=0$ と $X=S$ の點に於て對稱なる時換言すれば $V(x)=V(-x)$ 且 $(S+X)=V(S-X)$ であるならば、 $0 < X < S$ の區間の外でも適用し得る。

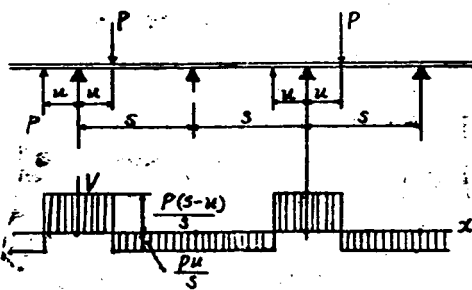
函数 P_1 がこれと同じ周期を持ち、 $X=0$ 及び $X=S$ で反対稱 (antisymmetrical) 即ち $P_1(x) = -P_1(-x)$, $P_1(S+x) = -P_1(S-x)$ である。これらの函数は $X=0, \pm S$ $\pm 2S$ なる點に於て閑留支持の連繩軸に利用せられる。

する。この形を次の如くする。

$$V_1 = \sum_{n=1}^{\infty} C_n \cos \frac{n\pi x}{S} \quad \dots \dots \dots (21)$$

但し $C_1, C_2, C_3, \dots, C_n$ …は常数である。

若し函数を收敛せしむる1群の常数の存在を假定するならばこの常数は次式より決定せられる。



第7回 行における垂直剪力

第7圖の如き場合に於ては(24)(21)(25)の各式を用ひ
 V_1 の代りに $V_1 P_1$ の代り P とすれば剪力及荷重がFuri
 em Series で求められる。仍ち

$$0 < x < u \text{ の区間で } V = \frac{P(S-u)}{S}$$

$$\mu < x < s \quad \Rightarrow \quad V = -\frac{P_u}{S}$$

(24)式より

$$C_m = -\frac{2}{S} \int_{-\infty}^s V \cos \frac{m\pi x}{S} dx = \frac{2}{S} \left[\int_0^u \frac{P(S-u)}{S} \cos \frac{m\pi x}{S} dx + \int_u^s \frac{-P_u}{S} \cos \frac{m\pi x}{S} dx \right]$$

$$= \frac{S}{m\pi} \cdot \frac{2P}{S} \left[\sin \frac{m\pi u}{S} - \frac{u}{S} \sin m\pi \right] = \frac{2P}{m\pi} \sin \frac{m\pi u}{S}$$

仍ち $C_n = \frac{2P}{n\pi} \sin \frac{n\pi u}{S}$

依つて $V = \sum_{n=1,2}^{\infty} C_n \cos \frac{n\pi x}{S} = \frac{2P}{\pi} \sum_{n=1,2}^{\infty} \frac{1}{n} \sin \frac{n\pi u}{S} \cos \frac{n\pi x}{S} \dots \dots \dots (26)$

又 $P = -\frac{\partial V}{\partial X} = \frac{2P}{\pi} \sum_{n=1,2}^{\infty} \frac{1}{n} \sin \frac{n\pi x}{S} - \frac{n\pi}{S} \sin \frac{n\pi x}{S}$
 $= \frac{2P}{S} \sum_{n=1,2}^{\infty} \sin \frac{n\pi u}{S} \sin \frac{n\pi x}{S} \dots \dots \dots (27)$

この最後の式は平版上の集中荷重をあらはすに用ひられるものである。

註6. 收斂をなさしめる常数群の存在の證明は例へば次書を参照せられ度い。

E. T. Whittaker and S. N. Watson; Modern Analysis, Second edition 1915.p.161.

註7. 集中荷重をフーリエの級数に展開するに先づ集中荷重 P が S の區間に等分布してゐるものと考へ $\epsilon \rightarrow 0$ の極限を考慮して式と同じ(72)式を導きうる、

ブライヒ; 鋼橋の計算(邦譯)上巻52頁~53頁参照

第5節 無限級数を使用した集中荷重を有する版帶の解法

第8圖は土 y 方向に無限に延びてゐる版帶 (Plattentreifen) で $X=0$ 及 $X=S$ の2邊で單純支持せられ $X=U$ $y=0$ の點で單一荷重 P が作用してゐるとする。

單一荷重 P は(27)式で表はされる P で代表されるものと考へ得る。

y が正なる版上で Lagrange's equation は

$$\left. \begin{aligned} \left(\frac{\partial z}{\partial y} \right)_{y=0} &= 0 \\ \left(V_y \right)_{y=0} &= \left(-N \frac{\Delta z}{\partial y} \right)_{y=0} = -\frac{1}{2} P \end{aligned} \right\} (29)$$

扱 (a) 式の解として

$$Z = \sum_{n=1,2}^{\infty} Y_n \sin \frac{n\pi x}{S} \dots \dots \dots (b)$$

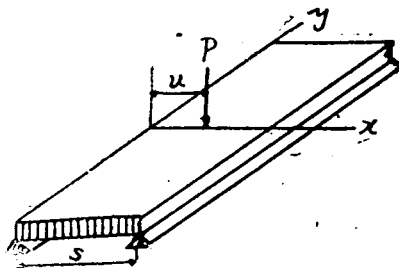
但し Y_n は y のみの函数である。
とすれば $X=0$ 及 $X=S$ に於て(28)式の境界條件を満足する。

(b) 式が(a)に式を満足する爲は Y_n は次式を満足しなければならぬ。

$$Y''_n - 2 \frac{n^2 \pi^2}{S^2} Y'''_n + \frac{n^4 \pi^4}{S^4} Y_n = 0 \dots \dots \dots (c)$$

但し Y'_n 、 Y''_n は Y_n の y に関する4次及び2次の微係数である。

上式の解として次の形を定める



第8圖

$X=0$ 及 $X=S$ の兩邊上と $y=\infty$ に於て

$$Z = \Delta Z = 0 \dots \dots \dots (28)$$

これ即ち Moment と Deflection が零なる條件式である。更に y 方向にて撓みは對稱でなければならず、又版の兩半分で荷重は2等分されるものと考へられるから

但し⁹, $F = \frac{n\pi y}{S}$

而して(28)式後半の條件にて $y = \infty$ にて $Y_n = 0$ なるを要する爲

従つて (b) 式は

(29)式前半の条件より

従つて(1)式は

(29)式後半の条件は

$$-\frac{1}{2}P = \left(-N\frac{\Delta z}{\partial y}\right)y = 0,$$

左邊のPを(27)式で置きかへ右邊のZを (h) 式で置きかへると運算の結果

を得る。依つて (b) 式は

$$Z = \frac{PS^2}{2\pi^3 N} \sum_{n=1,2,\dots} \frac{1}{n^2} (1+F) e^{-F} \sin \frac{n\pi u}{S} \sin \frac{n\pi x}{S} \quad \dots \dots \dots (30)$$

次に爲意逆に(30)式が(28)式及(29)式の境界条件を満足するか否か Check して見よう。先づ(30)式は一見して明らかに $X=0$ 及び $X=\infty$ 且 $y=\infty$ に於て $Z=0$ となる。

$$\begin{aligned}\frac{\partial z}{\partial y} &= \frac{PS^2}{2\pi^2 N} \sum_{n=1,2,\dots} \frac{1}{n^3} \left[-\frac{n\pi}{S} + \frac{n\pi}{S} - \frac{n\pi y}{S} - \frac{n\pi x}{S} \right] e^{-F} \sin \frac{n\pi u}{S} \sin \frac{n\pi x}{S} \\ &= \frac{PS^2}{2\pi^3 N} \sum_{n=1,2,\dots} \frac{1}{n^3} \frac{-n^2 \pi^2 y}{S^2} e^{-F} \sin \frac{n\pi u}{S} \sin \frac{n\pi x}{S} \\ &= -\frac{P}{2\pi N} \sum_{n=1,2,\dots} \frac{1}{n} y e^{-F} \sin \frac{n\pi u}{S} \sin \frac{n\pi x}{S} \quad \dots\dots\dots(31)\end{aligned}$$

となつて 明らかに $y=0$ に於て $\frac{\partial z}{\partial y} = 0$ となる。

(31)式を更に y にて微分すれば

$$\frac{\partial^2 z}{\partial y^2} = -\frac{P}{2\pi N} \sum_{n=1}^N \dots - \frac{1}{n} \left(1 - \frac{n\pi x}{S}\right) e^{-\frac{ny}{S}} \sin \frac{n\pi u}{S} \sin \frac{n\pi x}{S} \dots \quad (32)$$

次いで(30)式を x にて微分し

$$\begin{aligned}\frac{\partial z}{\partial x} &= \frac{PS^2}{2\pi^3 N} \sum_{n=1}^{\infty} \frac{1}{n^3} \left(1 + \frac{n\pi y}{S}\right) e^{-Fx} \sin \frac{n\pi u}{S} \frac{n\pi}{S} \cos \frac{n\pi x}{S} \\ \frac{\partial^2 z}{\partial x^2} &= \frac{PS^2}{2\pi^3 N} \sum_{n=1}^{\infty} \frac{1}{n^3} \left(1 + \frac{n\pi y}{S}\right) e^{-Fx} \sin \frac{n\pi u}{S}, \quad \frac{n^2 \pi^2}{S^2} \left(-\sin \frac{n\pi x}{S}\right) \\ &= \frac{P}{2\pi N} \sum_{n=1}^{\infty} \frac{1}{n} \left(1 + \frac{n\pi y}{S}\right) e^{-Fx} \sin \frac{n\pi u}{S} \sin \frac{n\pi x}{S} \dots \dots \quad (33)\end{aligned}$$

$$\text{したがって } \Delta Z = \frac{\partial^2 z}{\partial x^2} + \frac{\partial^2 z}{\partial y^2} = -\frac{P}{\pi N} \sum_{n=1,2,\dots} \frac{1}{n} e^{-r_n} \sin \frac{n\pi u}{S} \sin \frac{n\pi v}{S} \quad \dots\dots(34)$$

となつて $X=0$ $X=S$ 及び $y=\infty$ で零となる事明らかとなる。

又(17)式より

$$V_y = -N \frac{\partial \Delta z}{\partial y} = -N \left\{ -\frac{P}{\pi N} \sum_{n=1,2}^{\infty} \frac{1}{n} \left[-\frac{n\pi}{S} e^{-F} \sin \frac{n\pi u}{S} \sin \frac{n\pi x}{S} \right] \right\}$$

$$= -\frac{P}{S} \sum_{n=1,2}^{\infty} e^{-F} \sin \frac{n\pi u}{S} \sin \frac{n\pi x}{S}$$

之即ち(29)の條件式を満す證明である。なんとなれば

$$y=0 \text{なるとき } F = \frac{n\pi y}{S} = 0 \quad \therefore e^{-F} = e^{-0} = 1$$

従つて

$$V_y = \frac{-P}{S} \sum_{n=1,2,\dots} \sin \frac{n\pi u}{S} \sin \frac{n\pi x}{S}$$

となるからである。最後に ΔZ を X で2度偏微分して見ると

$$\frac{\partial \Delta z}{\partial X} = - \frac{P}{NS} \sum_{n=1,2,\dots} e^{-Fn} \sin \frac{n\pi u}{S} \cos \frac{n\pi x}{S}$$

$$\frac{\partial^2 \Delta z}{\partial x^2} = \frac{P\pi}{NS^2} \sum_{n=1,2,\dots} ne^{-F} \sin \frac{n\pi u}{S} \sin \frac{n\pi x}{S}$$

同様 ΔZ をyで2度微分した結果は

$$\frac{\partial^2 \Delta z}{\partial y^2} = -\frac{P\pi}{NS^2} \sum_{n=1}^N n^2 e^{-R^2} \sin \frac{n\pi u}{S} \sin \frac{n\pi x}{S}$$

仍ち

$$\frac{\partial^2 \Delta z}{\partial y^2} = - \frac{\partial^2 \Delta z}{\partial x^2}$$

故に

$$\Delta^2 Z = 0$$

が成立する。

Nadaiは次の如き函数 y を導いて解説的處理を簡明ならしめてゐる。¹¹ 即ち

$$\varphi = N \Delta Z = - \frac{P}{\pi} \sum_{n=1,2,\dots} \frac{1}{n} e^{-F} \sin \frac{n\pi u}{S} \sin \frac{n\pi x}{S}. \quad \dots \dots \dots \quad (36)$$

かくするとき方程式(32)(33)及 $\partial^2 z / \partial x \partial y$ は次の如く簡単な形をとる。

$$2N \frac{\partial^2 z}{\partial x^2} = - \frac{P}{\pi} \sum_{n=1,2,\dots} \frac{1}{n} \left(1 + \frac{n\pi y}{S} \right) e^{-r} \sin \frac{n\pi u}{S} \sin \frac{n\pi x}{S}$$

$$\begin{aligned} \text{而して } \frac{\partial \varphi}{\partial y} &= -\frac{P}{\pi} \sum_{n=1}^{\infty} \frac{1}{n} \left(\frac{-n\pi}{S} \right) e^{-F} \sin \frac{n\pi u}{S} \sin \frac{n\pi x}{S} \\ &= \frac{P}{\pi} \sum_{n=1}^{\infty} \frac{1}{n} \left(\frac{n\pi}{S} \right) e^{-F} \sin \frac{n\pi u}{S} \sin \frac{n\pi x}{S} \end{aligned}$$

$$\text{なる故に } 2N \frac{\partial^2 z}{\partial x^2} = - \frac{P}{\pi} \sum_{n=1,2,\dots} \frac{1}{n} e^{-F} \sin \frac{n\pi u}{S} \sin \frac{n\pi x}{S}$$

$$-\frac{P}{\pi} \sum_{n=1,2,\dots} \frac{1}{n} \frac{n\pi y}{S} e^{-F} \sin \frac{n\pi u}{S} \sin \frac{n\pi x}{S} = \mu - y \frac{\partial \Psi}{\partial v} \quad \dots \dots \dots (37)$$

偏心版の應力計算に関する理論について（其の1）

$$\text{依つて(11)式は } M_x = N \left(-\frac{\partial^2 z}{\partial x^2} - \mu \frac{\partial^2 z}{\partial y^2} \right) = -\frac{1}{2} \left\{ \left(\varphi - y \frac{\partial \varphi}{\partial y} \right) + \mu \left(\varphi + y \frac{\partial \varphi}{\partial y} \right) \right\} \\ = -\frac{1+\mu}{2} \varphi + \frac{1-\mu}{2} y \frac{\partial \varphi}{\partial y} \quad \dots \dots \dots \quad (40)$$

同様に $M_y = -\frac{1+\mu}{2} \varphi - \frac{1-\mu}{2} y \frac{\partial \varphi}{\partial y} \quad \dots \dots \dots \quad (41)$

$$M_{xy} = -\frac{1-\mu}{2} y \frac{\partial \mu}{\partial x} \quad \dots \dots \dots \quad (42)$$

註8 Timoshenko; Theory of Plates and Shells P 167以下参照

註9 $F=n\pi y/S$ と置いたのは單に印刷上の都合に依る。故に e^{-F} 以外の場合は F と代置しないことにした。

註10 Timoshenko は線荷重の Z を求めその特別の場合として(30)式を導いてゐる。線荷重の C_n は

$$C_n = \frac{g_s S^3}{\pi^4 N n^4} \sin \frac{n\pi u}{S} \sin \frac{n\pi e}{S}$$

でこゝに q_0 は線荷重の単位強度は分布中の半分である。故に

$$2bq_0 = P \sin \frac{n\pi e}{S} \approx \frac{n\pi e}{S}$$

とすれば (1) 式と同じ結果を得る事勿論である。

Timoshenko; 前掲載書P170参照

註11 A. Nadai; Die Elastische Platten SS 6

第6節 有限形にて表はされた Nadai の解の證明

Nadai は複素数の變數を有する函数を含む演繹的方法 (deductive Process) に依つて (36) 式乃至 (43) 式中の函数 ψ を有限形にて表はすことに成功した。¹²

こゝにその方法を記述し證明してみる。

今座標の原點を四隅の中央に置く(第2圖参照)。この時端邊は $X=\pm \frac{S}{2}$ であらはされる。荷重の作用點は

$$X=-V=-\frac{S}{2}+u, \quad y=0$$

而るとき Nadai に依りあらはされたる ψ は

$$\psi = N \Delta Z = \frac{P}{4\pi} \log \frac{B}{A} \quad \dots \dots \dots \quad (43)$$

故に $A = \cosh \frac{\pi y}{S} + \cos \frac{\pi(x-v)}{S} \quad \dots \dots \dots \quad (44)$

$$B = \cosh \frac{\pi y}{S} - \cos \frac{\pi(x+v)}{S} \quad \dots \dots \dots \quad (45)$$

方程式(43)中の ψ は(36)式中の ψ と等しいものである。(但し新座標に對應する如く書きかへられてゐる) 故に次の條件を満足する必要がある。

1. P の作用點以外のあらゆる點に於て $\Delta \psi = 0$ なること。
2. $X=\pm S/2$ 及び $y=\infty$ に於て $\psi = 0$ なること。
3. 荷重の周囲の小圓の範囲内における全垂直剪力は $-P$ たること。

第1の證明

$$\frac{\partial \psi}{\partial X} = \frac{\partial \psi}{\partial A} \frac{\partial A}{\partial X} + \frac{\partial \psi}{\partial B} \frac{\partial B}{\partial X} \quad \text{なるに依り}$$

$$\frac{\partial \psi}{\partial A} = \frac{P}{4\pi} \frac{\partial}{\partial A} \left(\log \frac{B}{A} \right) = -\frac{P}{4\pi A}$$

$$\begin{aligned}
 \frac{\partial \varphi}{\partial B} &= \frac{P}{4\pi B} \\
 \frac{\partial A}{\partial X} &= \frac{\partial}{\partial X} \left\{ \cosh \frac{\pi y}{S} + \cos \frac{\pi(x-v)}{S} \right\} = -\frac{\pi}{S} \sin \frac{\pi(x-v)}{S} \\
 \frac{\partial B}{\partial X} &= \frac{\pi}{S} \sin \frac{\pi(v+x)}{S} \\
 \therefore \frac{\partial \varphi}{\partial X} &= \frac{P}{4\pi A} \frac{\pi}{S} \sin \frac{\pi(x-v)}{S} + \frac{P}{4\pi B} \frac{\pi}{S} \sin \frac{\pi(x+v)}{S} \\
 &= \frac{P}{4S} \left(\sin \frac{\pi(x+v)}{S} B + \sin \frac{\pi(x-v)}{S} A \right) \quad \dots \dots \dots (46)
 \end{aligned}$$

同様にして $\frac{\partial \varphi}{\partial y} = \frac{P}{4S} \sinh \frac{\pi y}{S} \left(\frac{1}{B} - \frac{1}{A} \right)$ $\dots \dots \dots (47)$

更に $\frac{\partial^2 \varphi}{\partial X^2} = \frac{P}{4S} \frac{\partial}{\partial X} \left(\frac{\sin \frac{\pi(x+v)}{S}}{B} + \frac{\sin \frac{\pi(x-v)}{S}}{A} \right)$
 $= \frac{P}{4S} \left(\frac{\frac{\pi}{S} \cos \frac{\pi(x+v)}{S} B - \frac{\pi}{S} \sin^2 \frac{\pi(x+v)}{S}}{B^2} \right. \\ \left. + \frac{\frac{\pi}{S} \cos \frac{\pi(x-v)}{S} A + \frac{\pi}{S} \sin^2 \frac{\pi(x-v)}{S}}{A^2} \right)$

而して分子第1項は運算の結果

$$\text{第1項} = \frac{\pi}{S} \left\{ \cos \frac{\pi(x+v)}{S} \cosh \frac{\pi y}{S} - 1 \right\}$$

同様に

$$\text{第2項} = \frac{\pi}{S} \left\{ \cos \frac{\pi(x-v)}{S} \cosh \frac{\pi y}{S} + 1 \right\}$$

依つて $\frac{\partial^2 \varphi}{\partial x^2} = \frac{\pi P}{4S^2} \left(\frac{\cos \frac{\pi(x+v)}{S} \cosh \frac{\pi y}{S} - 1}{B^2} + \frac{\cos \frac{\pi(x-v)}{S} \cosh \frac{\pi y}{S} + 1}{A^2} \right)$

更にyにて2度微分すれば全く同様の操作に依り上式右邊に(-1)を乗じたものを得る。即ち

$$\frac{\partial^2 \varphi}{\partial X^2} = -\frac{\partial^2 \varphi}{\partial y^2} \quad \therefore \Delta \varphi = 0$$

となる。

第2の證明

$$X = \pm \frac{S}{2} \text{ なれば (44)(45) 両式において}$$

$$\cos \frac{\pi(\pm \frac{S}{2} - v)}{S} = \cos \left(\pm \frac{\pi}{2} - \frac{v}{S} \pi \right) = -\cos \left(\pm \frac{\pi}{2} + \frac{v}{S} \pi \right)$$

なれば $A=B$

となり従つて(43)式は

$$\varphi = -\frac{P}{4\pi} \log 1 = 0$$

又(44)(45)式にて yが限りなく増大すれば

$$\cosh Z = \infty$$

となり $\frac{B}{A}$ は常に限りなく近づく。即ち $\varphi=0$ が成立する。

第3の證明

今 $\cos \lambda$, $\cosh \beta$ を展開すれば

$$\cos \lambda = 1 - \frac{\lambda^2}{2!} + \frac{\lambda^4}{4!} - \dots + (-1)^r \frac{\lambda^{2r}}{2r!}$$

$$\cosh \beta = 1 + \frac{\beta^2}{2!} + \frac{\beta^4}{4!} + \dots + \frac{\beta^{2r}}{2r!}$$

なる故 λ , β が小なる値なる時は近似的に

$$\cos \lambda \approx 1 - \frac{\lambda^2}{2}$$

$$\cosh \beta \approx 1 + \frac{\beta^2}{2}$$

従つて點(X=-V, y0)の極限近傍 於て、即ち X+V 及 y が極く小なる値である時は(45)式は次の簡易形となる。

$$\begin{aligned} B &= \cosh \frac{\pi y}{S} - \cos \frac{\pi(x+v)}{S} = 1 + \frac{\pi^2 y^2}{2S^2} - 1 + \frac{\pi^2 (x+v)^2}{2S^2} = \frac{\pi^2}{2S^2} (y^2 + (X+V)^2) \\ &= \frac{\pi^2 r^2}{2S^2} \end{aligned} \quad (48)$$

但し $r = \sqrt{y^2 + (X+V)^2}$ にして即ち點(-V, 0)と點(X, y)との距離である。又 $\log A$ (はこの近傍に於て比較的緩慢なる變化をするに引きかへて $\log B$ は數的にも大にして且急激なる變化をする故點(X=-V, y=0)に於ては A の値を次の如くなしる。

$$A = 1 + \cos \frac{2\pi V}{S} = 2 \cos^2 \frac{\pi V}{S} \quad (49)$$

$$\therefore y=0 \text{ なれば } \cosh \frac{\pi y}{S} = 1$$

$$X=-V \text{ なれば } \cos \frac{\pi(x-v)}{S} = \cos \frac{2\pi v}{S}$$

故に (48)式の代りに荷重作用點よりの距離 r が小なる時は次の形となる。

$$\begin{aligned} \varphi &= \frac{P}{4\pi} \log \frac{B}{A} = \frac{P}{4\pi} \log \frac{\frac{\pi^2 r^2}{2S^2}}{2 \cos^2 \frac{\pi V}{S}} = \frac{P}{4\pi} \log \left(\frac{\pi r}{2S \cos \frac{\pi V}{S}} \right)^2 \\ &= \frac{P}{2\pi} \log \frac{\pi r}{2S \cos \frac{\pi V}{S}} \end{aligned} \quad (50)$$

垂直剪應力を表はす(17)式は φ を用ひると

$$V_x = -\frac{\partial \varphi}{\partial X} \quad V_y = -\frac{\partial \varphi}{\partial y}$$

従つて半徑ベクトル (radius vector) r に直角な斷面内の垂直剪應力は

$$V_r = -\frac{\partial \varphi}{\partial r}$$

そこで(50)式を r で微分すると

$$V_r = -\frac{\partial \varphi}{\partial r} = -\frac{P}{2\pi} \frac{\partial}{\partial r} \left(\log \frac{\pi r}{2S \cos \frac{\pi V}{S}} \right) = -\frac{P}{2\pi r}$$

これ即ち半徑 r の小圓上の全剪力が $-P$ なることを證明するものである。
かくて凡ての必要條件が満足されたこととなる。